

1. Потенциальная помехоустойчивость когерентного приема. Потенциальная помехоустойчивость ДАМ, ДФМ, ДЧМ и ДОФМ сигналов.

Помехоустойчивость – способность системы противостоять влиянию помех, определяется вероятностью ошибки Рош. Рош-вероятность неправильно принять информационный символ.

При заданной интенсивности помехи Рош тем меньше, чем сильнее различаются между собой сигналы, соответствующие разным сообщениям. Также Рош зависит от способа приема.

Потенциальная(предельная) помехоустойчивость – это помехоустойчивость при заданном методе модуляции, которая ни при каком способе приема не может быть превзойдена.

Оптимальный приемник- приемник, реализующий потенциальную помехоустойчивость.

Пусть $m=2 \Rightarrow$ известны два сигнала $S_1(t)$ и $S_2(t)$. Пусть априорные вероятности появления этих сигналов равны, т.е. $P(H_1) = P(H_2) = 0.5$. Тогда

$$P_{ош} = 0.5 [P(\gamma_1|H_2) + P(\gamma_2|H_1)] = \min. \quad \text{Из формулы:}$$

$$\sum_{i=1}^n y_i S_{ki} - 0,5E_k \geq \sum_{i=1}^n y_i S_{li} - 0,5E_l, \text{ при } l = \overline{1:m}, l \neq k \quad \text{имеем:}$$

если $\sum_{i=1}^n y_i (S_{li} - S_{2i}) - 0,5(E_l - E_2) > 0 \Rightarrow$ принимаем решение γ_l (на входе приемника присутствует сигнал S_{li});

или в непрерывном времени: если $\int_0^T y(t)[S_1(t) - S_2(t)]dt - 0,5(E_1 - E_2) > 0 \Rightarrow$ принимаем решение γ_1 о присутствии сигнала $S_1(t)$.

$$\text{По гипотезе } H_1: y(t) = S_1(t) + \eta(t) \Rightarrow \int_0^T (S_1(t) + \eta(t))[S_1(t) - S_2(t)]dt - 0,5(E_1 - E_2) =$$

$$= \int_0^T S_1(t)[S_1(t) - S_2(t)]dt + \int_0^T \eta(t)[S_1(t) - S_2(t)]dt - 0,5(E_1 - E_2) = \zeta + 0,5E_3 \Rightarrow$$

$$P(\gamma_2|H_1) = P\{\zeta < -0,5E_3|H_1\}, \quad \zeta \sim N(0; \sigma_\zeta^2), \quad \sigma_\zeta^2 = M\left(\int_0^T \eta(t)[S_1(t) - S_2(t)]dt\right)^2 = \int_0^T M(\eta(t))^2 [S_1(t) - S_2(t)]^2 dt = \sigma_\eta^2 E_3,$$

$$\text{где } E_3 = \int_0^T [S_1(t) - S_2(t)]^2 dt \text{ - энергия разностного сигнала, } M - \text{ оператор мат. ожидания, } \sigma_\eta^2 = \frac{N_0}{2}.$$

$$\text{ФПВ случайной величины } \zeta \text{ - гауссовская: } w_\zeta(x) = \frac{1}{\sqrt{2\pi}\sigma_\zeta} e^{-\frac{x^2}{2\sigma_\zeta^2}} \Rightarrow$$

$$P(\gamma_2|H_1) = \int_{-\infty}^{-0,5E_3} \frac{1}{\sqrt{2\pi}\sigma_\zeta} e^{-\frac{x^2}{2\sigma_\zeta^2}} dx = -\frac{1}{\sqrt{2\pi}} \int_{\frac{0,5E_3}{\sigma_\zeta}}^{\frac{\sigma_\zeta}{\sigma_\zeta}} e^{-\frac{V^2}{2}} dV = \frac{1}{\sqrt{2\pi}} \int_{\frac{0,5E_3}{\sigma_\zeta}}^{\infty} e^{-\frac{V^2}{2}} dV, \text{ была проведена замена переменной: } V = \frac{x}{\sigma_\zeta} \Rightarrow dV = \frac{dx}{\sigma_\zeta},$$

$$\Phi(x) = \frac{2}{\sqrt{2\pi}} \int_0^x e^{-\frac{V^2}{2}} dV \text{ - функция Крампа, табулирована. Т.к. } \Phi(\infty) = 1 \Rightarrow$$

$$P(\gamma_2|H_1) = 0,5 \left[\frac{2}{\sqrt{2\pi}} \int_0^{\infty} e^{-\frac{V^2}{2}} dV - \frac{2}{\sqrt{2\pi}} \int_0^{\frac{0,5E_3}{\sigma_\zeta}} e^{-\frac{V^2}{2}} dV \right] = 0,5 \left[\Phi(\infty) - \Phi\left(\frac{0,5E_3}{\sigma_\zeta}\right) \right] = 0,5 \left[1 - \Phi\left(\frac{0,5E_3}{\sigma_\zeta}\right) \right].$$

Аналогично получаем:

$$P(\gamma_1|H_2) = 0,5 \left[1 - \Phi \left(\sqrt{\frac{E_s}{2N_0}} \right) \right],$$

$$\text{Т.е. } P(\gamma_1|H_2) = P(\gamma_2|H_1) \Rightarrow P_{ош} = 0,5 \cdot 2P(\gamma_2|H_1) = 0,5 \left[1 - \Phi \left(\sqrt{\frac{E_s}{2N_0}} \right) \right].$$

$$P_{ош} = 0,5 \left[1 - \Phi \left(\sqrt{\frac{E_s}{2N_0}} \right) \right]$$

Таким образом, вероятность ошибки $P_{ош}$ тем меньше, чем больше энергия E_s разностного сигнала.

$$E_s = \int_0^T [S_1(t) - S_2(t)]^2 dt = \int_0^T S_1^2(t) dt + \int_0^T S_2^2(t) dt - 2 \int_0^T S_1(t) S_2(t) dt = E_1 + E_2 - 2 \int_0^T S_1(t) S_2(t) dt.$$

Энергия E_s тем больше, чем больше суммарная энергия двух сигналов $S_1(t)$

и $S_2(t)$ $E_1 + E_2$ и чем меньше корреляция между ними $\int_0^T S_1(t) S_2(t) dt$.

Если $E_1 = E_2 = E$, $r_s = \frac{1}{E} \int_0^T S_1(t) S_2(t) dt$ - коэффициент взаимной корреляции между $S_1(t)$ и $S_2(t)$,

$$\text{то } E_s = 2E - 2r_s E = 2E(1 - r_s) \text{ и } P_{ош} = 0,5 \left[1 - \Phi \left(\sqrt{\frac{E(1 - r_s)}{N_0}} \right) \right]$$

Если $r_s = -1$, тогда $S_1(t) = -S_2(t)$ - противоположные сигналы, $P_{ош}$ минимальна; если $r_s = 1$, тогда $S_1(t) = S_2(t)$, $P_{ош} = 0,5$ - сигналы не различимы; если $r_s = 0$, тогда сигналы ортогональны.

Потенциальная помехоустойчивость ДАМ, ДФМ, ДЧМ и ДОФМ сигналов.

1. Двоичная амплитудная модуляция (ДАМ):

«1» передается сигналом $S_1(t) = A \cos(\omega t)$,

«0» передается сигналом $S_2(t) = 0$,

$0 \leq t \leq T$.

$E_2=0$; $E_1=E$, тогда по формуле:

$$P_{ош} = 0,5 \left[1 - \Phi \left(\sqrt{\frac{E_s}{2N_0}} \right) \right]$$

Получим выражение для потенциальной помехоустойчивости:

$$P_{ош} = 0,5 \left[1 - \Phi \left(\sqrt{\frac{E}{2N_0}} \right) \right]$$

$$\text{или через интеграл Лапласа } F(x) = \frac{1}{\sqrt{2\pi}} \int_{-\infty}^x e^{-\frac{V^2}{2}} dV : P_{ош} = 1 - F \left(\sqrt{\frac{E}{2N_0}} \right)$$

2. Двоичная частотная модуляция (ДЧМ):

«1» передается сигналом $S_1(t) = A \cos(\omega_1 t)$,

«0» передается сигналом $S_2(t) = A \cos(\omega_2 t)$,

$$0 \leq t \leq T.$$

$r_s \approx 0 \Rightarrow$ по формуле :

$$P_{ош} = 0,5 \left[1 - \Phi \left(\sqrt{\frac{E(1-r_s)}{N_0}} \right) \right]$$

получим:

$$P_{ош} = 0,5 \left(1 - \Phi \left(\sqrt{\frac{E}{N_0}} \right) \right)$$

или

$$P_{ош} = 1 - F \left(\sqrt{\frac{E}{N_0}} \right)$$

3. Двоичная фазовая модуляция (ДФМ):

«1» передается сигналом $S_1(t) = A \cos(\omega t)$,

«0» передается сигналом $S_2(t) = -A \cos(\omega t)$,

$$0 \leq t \leq T.$$

$r_s = -1 \Rightarrow$ по формуле :

$$P_{ош} = 0,5 \left[1 - \Phi \left(\sqrt{\frac{E(1-r_s)}{N_0}} \right) \right]$$

получим:

$$P_{ош} = 0,5 \left(1 - \Phi \left(\sqrt{\frac{2E}{N_0}} \right) \right)$$

или

$$P_{ош} = 1 - F \left(\sqrt{\frac{2E}{N_0}} \right).$$

4. Двоичная относительная фазовая манипуляция (ДОФМ):

$$S_1(t) = \begin{cases} A \cos(\omega t), & 0 < t \leq T, \\ A \cos(\omega(t-T)), & T < t \leq 2T. \end{cases}$$

Сигнал $S_1(t)$ соответствует передаче разности фаз $\Delta\varphi = 0$, а сигнал $S_2(t)$ - $\Delta\varphi = \pi$

$$S_2(t) = \begin{cases} A \cos(\omega t), & 0 < t \leq T, \\ -A \cos(\omega(t-T)), & T < t \leq 2T. \end{cases}$$

Исходное сообщение $b_k (k=0,1..)$, состоящее из 0 и 1, преобразуется в $J_k = 2b_k - 1$

(в последовательность из -1 и 1). При формировании ДОФМ сигнала

символы J_k перекодируются следующим образом: $J'_k = J_k * J'_{k-1}$ где $J'_0 = 1$

Тогда для получения ДОФМ сигнала достаточно умножить несущее колебание $A \cos(\omega t)$ на J'_k :

$$S(t) = J'_k \cdot A \cos(\omega t) = \pm A \cos(\omega t).$$

$$P_{ДОФМ} = 2P_{ДФМ} (1 - P_{ДФМ}),$$

где $P_{ДФМ}$ - вероятность принять неверно один символ, определяемая по

формуле: $P_{ош} = 0,5 \left(1 - \Phi \left(\sqrt{\frac{2E}{N_0}} \right) \right)$

или

$$P_{ош} = 1 - F \left(\sqrt{\frac{2E}{N_0}} \right).$$

получим:

$$P_{ДОФМ} = \left(1 - \Phi \left(\sqrt{\frac{2E}{N_0}} \right) \right) \cdot \left(1 - 0,5 \left(1 - \Phi \left(\sqrt{\frac{2E}{N_0}} \right) \right) \right)$$

или

$$P_{ДОФМ} = 2 \left(1 - F \left(\sqrt{\frac{2E}{N_0}} \right) \right) \cdot F \left(\sqrt{\frac{2E}{N_0}} \right).$$

2.Спектр дискретизированного сигнала. Спектр АИМ сигнала

Рассмотрим временные диаграммы исходного и дискретизированного сигналов:

$x_{\delta}(t) = x(t)U_{\delta}(t)$ - дискретизированный сигнал

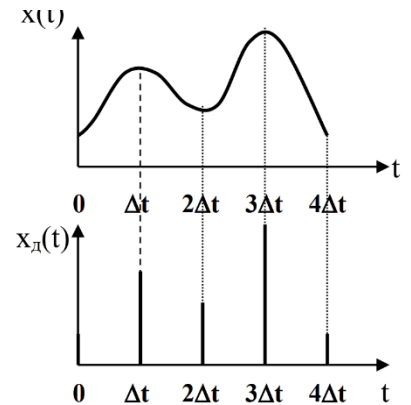
$x(t)$ - исходный сигнал.

$U_{\delta}(t)$ - периодическая последовательность δ - импульсов.

Разложим периодическую последовательность δ -импульсов в ряд Фурье.

$$U_{\delta}(t) = \dots + \frac{1}{\Delta t} e^{-j\omega_{\delta}t} + \frac{1}{\Delta t} + \frac{1}{\Delta t} e^{j\omega_{\delta}t} + \dots$$

$$x_{\delta}(t) = x(t)U_{\delta}(t) = x(t)[\dots + \frac{1}{\Delta t} e^{-j\omega_{\delta}t} + \frac{1}{\Delta t} + \frac{1}{\Delta t} e^{j\omega_{\delta}t} + \dots]$$



Найдём спектр дискретизированного сигнала.

$$\begin{aligned} \dot{S}_{\delta}(\omega) &= \int_{-\infty}^{\infty} x_{\delta}(t) e^{-j\omega t} dt = \dots + \frac{1}{\Delta t} \int_{-\infty}^{\infty} x(t) e^{-j(\omega + \omega_{\delta})t} dt + \frac{1}{\Delta t} \int_{-\infty}^{\infty} x(t) e^{-j\omega t} dt + \\ &+ \frac{1}{\Delta t} \int_{-\infty}^{\infty} x(t) e^{-j(\omega - \omega_{\delta})t} dt + \dots = \dots + \frac{1}{\Delta t} \dot{S}_x(\omega + \omega_{\delta}) + \frac{1}{\Delta t} \dot{S}_x(\omega) + \frac{1}{\Delta t} \dot{S}_x(\omega - \omega_{\delta}) + \frac{1}{\Delta t} \dot{S}_x(\omega - 2\omega_{\delta}) + \dots \end{aligned}$$

Т.о. мы видим, что спектр дискретизированного сигнала содержит спектр исходного сигнала $S_x(\omega)$, спектр исходного сигнала смещенный на величину частоты дискретизации вправо $S_x(\omega - \omega_d)$, тот же спектр смещенный на величину частоты дискретизации влево $S_x(\omega + \omega_d)$, тот же спектр смещенный на величину $2\omega_d$ и т.д.

Спектр исходного непрерывного сигнала.

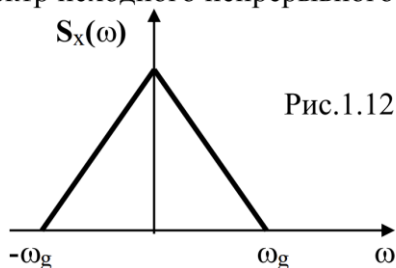


Рис.1.12

Спектр дискретизированного сигнала:

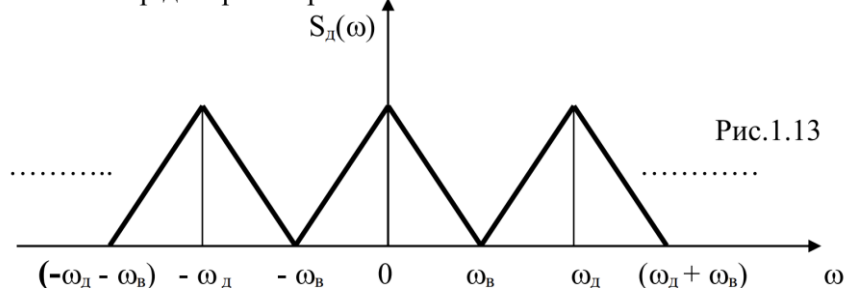


Рис.1.13

Спектр АИМ сигнала

Очевидно, что реально мы располагаем не последовательностью дельта-импульсов, а последовательностью импульсов конечной длительности.

В результате процесса дискретизации мы получим не последовательность дельта-импульсов, амплитуда которых соответствует значению непрерывного сигнала в тактовые моменты времени, а последовательность реальных, например, прямоугольных импульсов, амплитуда которых соответствует значениям непрерывного сигнала в тактовые моменты времени.

Рассмотрим временные диаграммы :

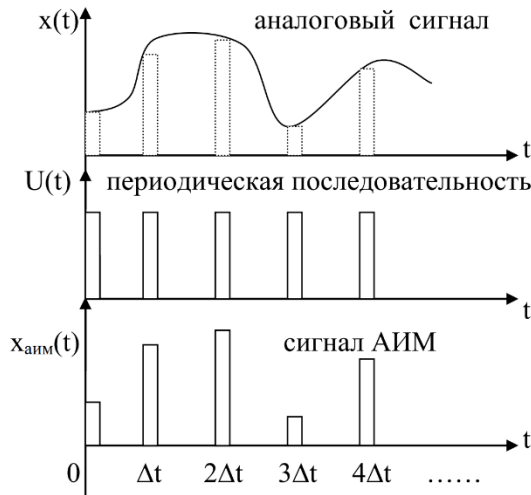


Рис. 1.14.

АИМ сигнал можно записать в виде:

$$x_{\text{AIM}}(t) = x(t)U(t) = x(t) \left[\dots + \frac{a_{-1}}{2} e^{-j\omega_0 t} + \frac{a_0}{2} + \frac{a_1}{2} e^{-j\omega_0 t} + \dots \right]$$

$U(t)$ -периодическая последовательность импульсов.

В квадратных скобках – ряд Фурье для последовательности импульсов конечной длительности.

Спектр АИМ сигнала, следовательно, похож на спектр дискретизированного сигнала при дискретизации дельта-импульсами, но амплитуда составляющих спектра убывает с ростом номера гармоники :

$$\begin{aligned} \dot{S}_0(\omega) = & \dots + \frac{a_{-2}}{2} \dot{S}_x(\omega + 2\omega_0) + \frac{a_{-1}}{2} \dot{S}_x(\omega + \omega_0) + \frac{a_0}{2} \dot{S}_x(\omega) + \\ & + \frac{a_1}{2} \dot{S}_x(\omega - \omega_0) + \frac{a_2}{2} \dot{S}_x(\omega - 2\omega_0) + \dots \end{aligned} \quad (1.8)$$

Спектр АИМ сигнала в соответствии с формулой (1.8) принимает вид, показанный на рис.1.15.

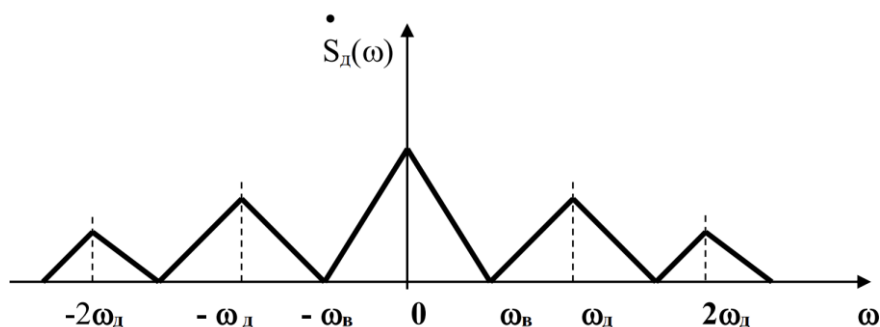


Рис.1.15

Задача. Дан стационарный случайный процесс $\zeta(t)$ с одномерной плотностью распределения вероятности

$$w(x) = \begin{cases} \frac{1}{b-a}, & a \leq x \leq b, \\ 0, & \text{иначе} \end{cases}$$

Найти математическое ожидание и дисперсию случайного процесса.

Вариант 8

$$w(x) = \begin{cases} \frac{1}{b-a}, & a \leq x \leq b \\ 0, & \text{иначе} \end{cases}$$

мат. ожидание - ?
дисперсия - ?

Решение:

для стационарного случайного процесса:

$$\begin{aligned} m_x(t) &= m_x = \text{const} \\ \sigma_x^2(t) &= \sigma_x^2 = \text{const} \end{aligned} \quad \left. \begin{array}{l} \text{не зависят от времени} \end{array} \right\}$$

$$\begin{aligned} m_x &= \int_{-\infty}^{+\infty} x \cdot w(x) dx \\ \sigma_x^2 &= \int_{-\infty}^{+\infty} (x - m_x)^2 w(x) dx \end{aligned} \quad \left. \begin{array}{l} \text{функция в обычном виде} \end{array} \right\}$$

$$m_x = \frac{b+a}{2} \quad (\text{таблица случай})$$

$$\begin{aligned} m_x &= \int_a^b \left(\frac{1}{b-a} \right) \cdot x dx = \frac{1}{b-a} \int_a^b x dx = \frac{1}{b-a} \cdot \frac{x^2}{2} \Big|_a^b = \\ &= \frac{1}{b-a} \left(\frac{b^2}{2} - \frac{a^2}{2} \right) = \frac{(b-a)(b+a)}{(b-a) \cdot 2} = \frac{b+a}{2} \end{aligned}$$

$$\sigma_x^2 = \frac{(b-a)^2}{12} \quad (\text{таблица случай})$$

$$\begin{aligned} \sigma_x^2 &= \int_a^b \left(x - \frac{b+a}{2} \right)^2 \left(\frac{1}{b-a} \right) dx = \frac{1}{b-a} \int_a^b \left(x^2 - x(b+a) + \frac{(b+a)^2}{4} \right) dx = \\ &= \frac{1}{b-a} \left(\frac{x^3}{3} \Big|_a^b - \frac{(b+a)x^2}{2} \Big|_a^b + \frac{(b+a)^2 x}{4} \Big|_a^b \right) = \\ &= \frac{1}{b-a} \left(\frac{b^3 - a^3}{3} - \frac{(b+a)(b^2 - a^2)}{2} + \frac{(b+a)^2(b-a)}{4} \right) = \\ &= \frac{1}{12(b-a)} (4b^3 - 4a^3 - 6(b+a)(b^2 - a^2) + 3(b+a)^2(b-a)) = \\ &= \frac{1}{12} (4a^2 + 4ab + 4b^2 - 6(a^2 + 2ab + b^2) + 3(a^2 + 2ab + b^2)) = \\ &= \frac{a^2 - 2ab + b^2}{12} = \frac{(b-a)^2}{12} \end{aligned}$$